

پیش‌بینی بزرگ‌گای احتمالی زلزله با استفاده از روش ارگودیسیتی مطالعه موردی استان یزد

سیدعلی المدرسی*: استادیار ژئومورفولوژی، دانشگاه آزاد اسلامی واحد یزد، یزد، ایران*

احسان امام جمعه: کارشناس ارشد عمران، دانشگاه آزاد اسلامی واحد یزد، یزد، ایران

وصول: ۱۳۹۱/۱/۱۸ پذیرش: ۱۳۹۱/۱۱/۲۱، صص ۸۹-۱۰۴

چکیده

استان یزد، در مرکز کشور و در زون ایران مرکزی واقع شده است. این زون یکی از واحدهای اصلی و عمدی است که به شکل مثلث در مرکز ایران قرار گرفته و جزء بزرگترین و پیچیده ترین واحدهای زمین شناسی به شمار می‌رود. منطقه مذکور، بر اثر حرکات کوهزایی، شدیداً دگرگون شده و در بر گیرنده گسلهای مهم مانند (گسل دهشیر، گسل انار، گسل پشت بادام، شهریابک و....) است. مطالعات پیش‌بینی بزرگ‌گای زلزله احتمالی در استان یزد می‌تواند گام مؤثری در شناخت بهتر منطقه به منظور ارائه طرحهای آمایشی و پنهان‌بندی مناطق خطرآفرین و نیز اتخاذ تدابیر حفاظتی در سازه‌های احتمالی باشد. در این مقاله رفتار گسل‌های منطقه مورد مطالعه با استفاده از روش شبیه سازی عددی (ارگودیسیتی) مورد بررسی قرار می‌گیرد. ارگودیسیتی مدل سیر تحولات و تغییرات تاریخی یک پدیده است، بطوریکه بتوان این تغییرات را در فازهای فضایی طبقه‌بندی نمود. مهمترین ویژگی این تقسیم بندی، مبنای قرارگرفتن متoste‌های یکسان میزان تغییرات فضایی، در طول هر مقطع زمانی از دوره تکوین است. متربک نوسان سازی (TM) تیرو مالای - مانین یکی از متدهای قابل استفاده در پیش‌بینی سیستمهای غیرخطی طبیعی است. که تعادل یا عدم تعادل سیستمی را با استفاده از کمیت گذاری گسل (کمیت فضایی - زمانی) مورد بررسی قرار می‌دهد و با یافتن فازهای زمانی میانگین تحولات رخداده آن را معادل میانگین تحول فضایی که در اینجا بزرگ‌گای زلزله است فرض می‌نماید این روش فرصتی ارزنده در اختیار ما قرار داد تا عملکرد و برآورد توان لرزه زایی گسل‌های طبیعی به وسیله پارامترهای آماری گسلهای منطقه را مورد بررسی قرار دهیم. بر اساس یافته‌های این پژوهش معلوم گردید که احتمال وقوع زلزله‌های با بزرگ‌گای بیشتر از 3 m در استان یزد وجود دارد.

واژه‌های کلیدی: استان یزد، ارگودیسیتی، روش تیرو مالای - مانین، گسل، بزرگ‌گای زلزله

مقدمه

وجود می‌آیند) ولمن، ۱۹۷۸)، که یکی از اصلی ترین آثار آنها،لغزش به موازات صفحه گسیختگی و بروز خطراتی از قبیل ایجاد قابلیت لزره خیزی در منطقه می‌باشد. این لغزش‌ها می‌توانند بصورت آرام یا ناگهانی باشد. لغزش‌های ناگهانی اغلب عامل ایجاد زلزله‌ها هستند که بستگی به مشخصه و دینامیک گسلها به ایجاد تنشهای موضعی و گسیختگی در سنگها به

از دیرباز پرسه گسل زایی در پوسته زمین یکی از عوامل پیچیده در بررسی عملکرد درونی زمین، در مقیاسهای متفاوت به شمار می‌رود. به عبارت ساده گسلها در اثر تغییر شکل در لایه‌های پوسته زمین با

پارامترهای عددی به ویژگی‌های هندسی، دینامیکی و گرمایی ماده مربوط می‌باشند. اگر سیستم‌ها به حال خود را شوند مقادیر پارامترهای خود را آن قدر تغییر می‌دهند تا به حالت تعادل برسند و دیگر تغییری را نمی‌توان مشاهده کرد. (ولدنبرگ، ۱۹۷۲). نکته دیگر آنکه این میل خودبخودی به تعادل، فرآیندی است که از لحاظ زمانی نامتناصر است) ولدنبرگ، ۱۹۶۶، (تیامپو و همکاران، ۲۰۰۳). مثلاً سیستم‌های غیر خطی رانشی آن قدر تغییر می‌کنند تا یکنواخت شوند. فرآیند «یکنواخت سازی» در مورد (گسل‌های طبیعی) نیز روی می‌دهد. اولین بار در سال ۱۹۹۳ ایده ارگودیک در سیستم‌های غیر خطی رانشی (گسل طبیعی) توسط متیریک نوسان سازی^{۱۱} (TM) تیرو مالای – مانتین^{۱۲} فرمول گذاری شد. بر اساس تئوری متیریک (TM)، فرگوسن و همکاران^{۱۳} براساس مشاهدات موجود عملکرد چندین سیستم گسل طبیعی (کالیفرنیا^{۱۴} بین سال‌های ۱۹۳۲ و ۲۰۰۴ در منطقه عرض جغرافیایی ۳۲ تا ۴۰ درجه و طول جغرافیایی ۱۱۵ تا ۱۲۵، شبه جزیره ایبرین^{۱۵} و شمال غربی آمریکا در عرض جغرافیایی ۳۵ درجه و ۴۵ درجه شمال و بین طول جغرافیایی ۵ درجه تا ۱۵ درجه و شرق کانادا^{۱۶} در منطقه عرض جغرافیایی ۴۲ تا ۵۱ درجه طول جغرافیایی ۶۰ تا ۸۵ درجه) را با استفاده از داده‌های مرکز زمین لرزه کالیفرنیای جنوبی^{۱۷} (SCEC) و شبکه لرزه نگاری شمال کالیفرنیا^{۱۸} (NCSN) مورد بررسی قراردادند این

از این رو درک فیزیک گسل‌ها برای پیاده‌سازی متدهای پیش‌بینی زمین لرزه‌ها ضروری است. شبکه‌های گسل و زمین لرزه زیر مجموعه‌ای از سیستم‌های غیر خطی طبیعی، سیستم‌های آستانه‌ای رانشی می‌باشد(فرگوسن و همکاران، ۱۹۹۶. کی سی و همکاران، ۱۹۶۱. وايت و همکاران، ۱۹۶۵). برای پیش‌بینی چگونگی عملکرد گسل‌ها می‌توان از روش شیوه‌سازی عددی (ارگودیسیتی^۱) استفاده کرد. ارگ^۲ در زبان یونانی به معنای کار یا انرژی و هودوس^۳ به معنای راه است (پین، ۱۹۸۵). به عبارت ساده ارگودیسیتی عبارتست از مدل سیر تحولات و تغییرات تاریخی یک پدیده بطوریکه بتوان این تغییرات را در فازهای مختلفی طبقه بندی نمود. مهمترین ویژگی این تقسیم بندی مبنای قرارگرفتن متوسطهای یکسان میزان تغییرات، در طول هر مقطع از دوره تکوین است) (ورنات و همکاران، ۲۰۰۶). بولنتمن^۴ برای اولین بار ایده ارگودیسیتی را فرموله نموده و ازلغت ارگودیک^۵ استفاده کرد، البته برخی از ابعاد این تئوری به سال ۱۷۱۳ و قانون برنولی^۶ اعداد بزرگ باز می‌گردد، (براون^۷، ۱۹۷۶، ۵۶، ۵۴، ۱۹۵۲) ارگودیسیتی و جایگزینی مکان بجای زمان را در مطالعات مرتبط با روند تکامل شبی در امتداد بخشی از ساحل جنوب والز^۸ مورد بررسی قرار داد. پس از قرن هفدهم توصیف عددی سیستم‌های فیزیکی معمول گردید. (ولدنبرگ، ۱۹۶۸). این

1 Ergodicity

2 Ergo

3 hodos

4 Pain

5 Bultzman

6 Ergodic

7 Bernoulli

8 Brown

9 Savigear

10 Wales

11 fluctuation metric

12 Thirumalai-Mountain (TM)

13 Ferguson et al

14 California

15 Iberian peninsula

16 Eastern Canada

17 Southern California Earthquake Center

18 Northern California Seismic Network

موقعیت جغرافیایی منطقه

استان یزد در مرکز کشور بین طولهای جغرافیایی^۱ $48^{\circ} ۵۲' ۰ ۵۶' ۰ ۲۳' ۰$ و عرضهای^۲ $۲۹^{\circ} ۰ ۳۶' ۰ ۲۲' ۰ ۳۳' ۰$ شمالی قرار دارد (شکل ۱). بر اساس آخرین تقسیمات کشوری (پایان اسفند ماه ۱۳۷۹) این استان دارای ۹ شهرستان، ۱۹ شهر، ۱۷ بخش و ۴۳ دهستان می‌باشد. مساحت این استان ۷۳۴۶۷ کیلومتر مربع است. مرکز استان شهر یزد می‌باشد که ارتفاع آن از سطح دریا ۱۲۳۰ متر است و دارای جمعیت ۸۲۸۴۰۱ نفر می‌باشد. شهرهای مهم استان شامل ابرکوه، اردکان، بافق، تفت، خاتم، صدوق، طبس، مهریز، میبد و یزد است و به لحاظ همسایگی استان یزد از شمال به استانهای سمنان و اصفهان؛ از جنوب به استان کرمان؛ از شرق به استانهای خراسان جنوبی و خراسان رضوی و از غرب به استانهای اصفهان و فارس محدود است.

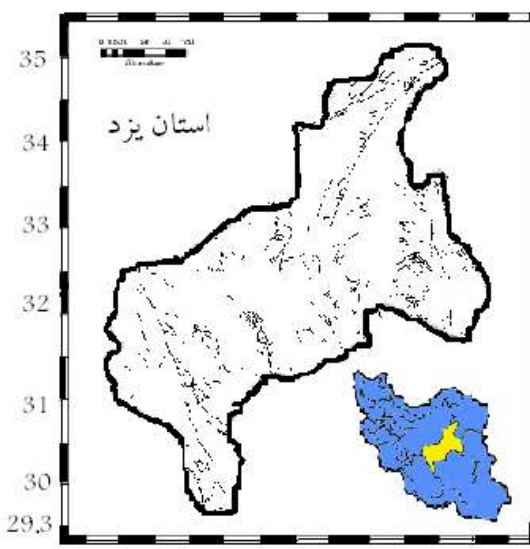
گسلهای استان یزد

بیش از ۸۰ گسل مهم در ایران شناسایی شده‌اند که در حدود ۳۵ مورد از آنها همراه با پیشینه لرزه خیزی هستند. بررسی‌های زمین شناسی سطح الارضی نشانگر آن است که شهر یزد بر روی گسل چندان خطناکی واقع نشده است. گرچه وجود گسلهای کوچکتر و کم خطرتری در این ناحیه محرز گردیده است و از سوی دیگر چندین گسل مهم نیز در محدوده استان یزد وجود دارد که از آن جمله می‌توان گسلهای دهشیر، بافت، پشت بادام، شهربابک و بخش شمالی نای بند را نام برد. (شکل ۲)

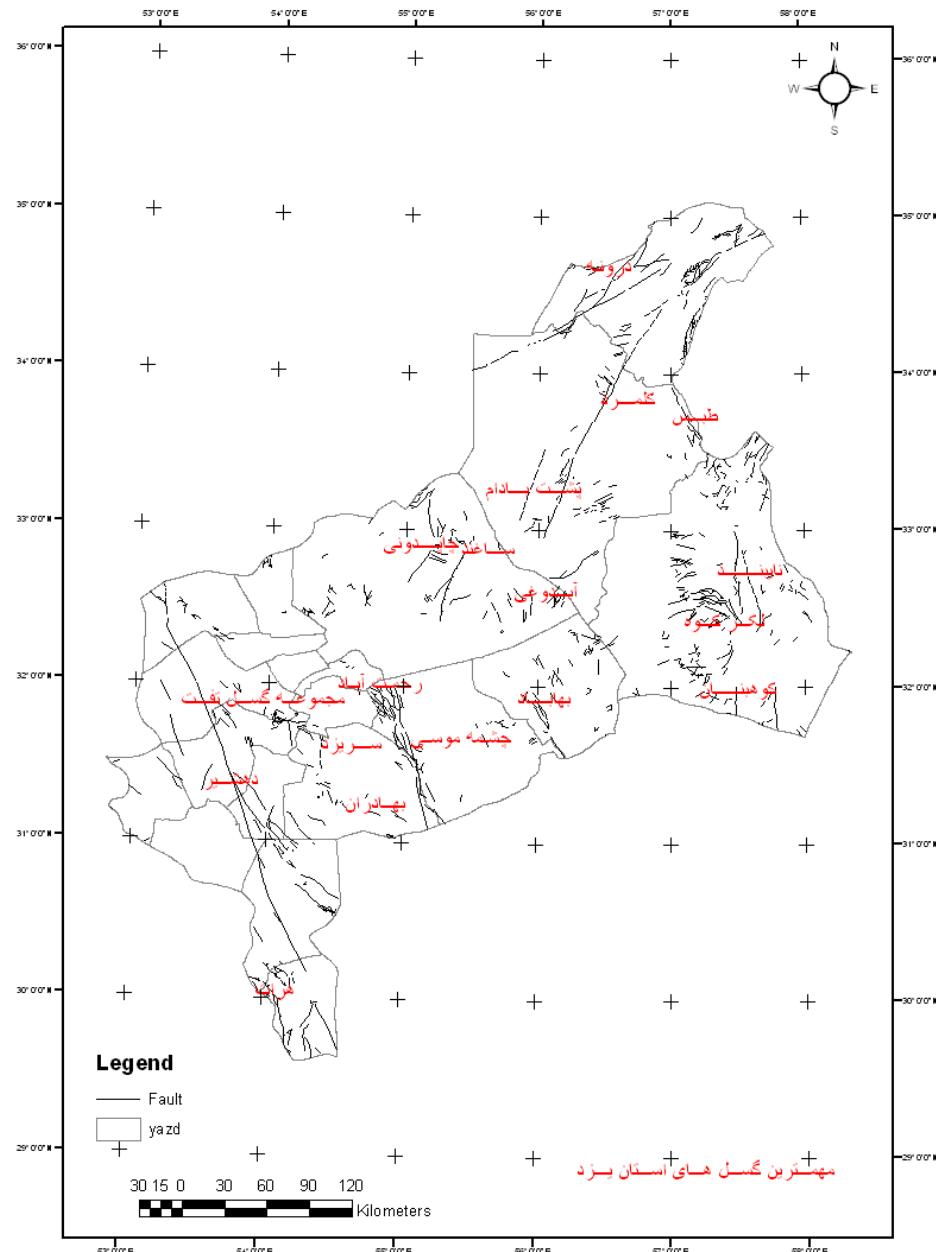
از نظر تکتونیکی گسل‌های دهشیر - بافت، پشت بادام و شهربابک گسل‌های مؤثر در این استان می‌باشد، به طوری که ژئومورفولوژی استان متاثر از آنها است (www.ngdir.ir)

نتیجه حاصل شد که سیستم‌های گسل طبیعی برای دوره‌های طولانی زمانی برای بزرگی $m \geq 4$ ارگودیک می‌باشند، و رویدادهای زمین لرزه ای بزرگ که می‌تواند به طور مستقیم سیستم را از ارگودیسیتی خارج سازد شناسایی کرد این رویدادهای خیلی بزرگ سیستم را برای یک دوره از زمان از تعادل خارج می‌سازند که بعد از آن، حالت شبه تعادل ایجاد می‌شود. این حالت را به عنوان تعادل بر جسته شده یا نوسانی نامیده می‌شود (فرگومن و همکاران، ۲۰۰۳).

هدف مقاله حاضر بررسی آستانه‌های ارگودیکی در سیستم گسل‌های استان یزد و تشخیص وجود تعادل نشان دار بر اساس ویژگی فرایند زمین لرزه است که تابعی از حدها و دقت داده‌ها و کاتالوگ‌های لرزه شناسی است، می‌باشد البته تست کردن فرضیه اخیر روش ارگودیکی مورد استفاده قرار می‌گیرد، روشی که به عنوان متریک (TM) تیرومالای سانتین مشهور است.



شکل ۱- محدوده مورد مطالعه



شکل ۲: موقعیت جغرافیا پی گسلهای استان یزد

تیز و مالای - مانتن با توجه به تعداد رویدادهای زمین

روش مطالعه رفتار سنجی، (ارگو دیستیتی،) در

لرزه ای بازگه، خاص، بازگری باید دو راه

شبکه‌های گسل طبیعی:

؛ مانع، کمٹ گذاری و تاثر آن را زوی و بیشگه های

نار و داشت. تو اون آنقدر سازی کرد که تو سرط گشیده باشی.

اگر دیگر حادث شده در منطقه ۲ مورد تحقیق است

TM سیستمی که از تکنیک های پردازش داده های آنالوگ و دیجیتال استفاده می کند.

رسیدن به ارگودیک تناسب دارد. به طور خاص برای هر منطقه یا منطقه فرعی تحت بررسی، کاتالوگ‌هایی تهیه شد تا رویدادهای زمین لرزه‌ای با توجه به موقعیت‌های مختلف مکانی (۱) مورد بررسی قرار گیرد. بر همین اساس تعداد زمین لرزه‌هایی که دارای بزرگی خاص یا بزرگتر را مشخص و میزان $N(t)$ برای یک دوره زمانی خاص، بر اساس قانون گوتنبرگ - ریشر محسوبه گردید.

قانون گوتنبرگ ریشر براساس رابطه ذیل می‌باشد:

$$N(t) = a 10^{-bm}, \quad \text{رابطه ۵}$$

رابطه ۶

$$\text{or } \log N(t) = a - bm,$$

بطوریکه $b \approx 1.0$ و a یک عدد ثابت در منطقه مورد نظر است

رابطه ۷

$$E(t) = 10^c m 10^d,$$

همینطور در رابطه (۷) میزان انرژی برای بزرگی یک زلزله خاص m (بر اساس ژول) با پارامترهای ثابت $c \approx 1.44$ ، $d \approx 5.24$ می‌باشد.

بنابراین

رابطه ۸

$$m = \frac{\log E(t) - d}{c}.$$

با جایگزین سازی داریم:

رابطه ۹

بررسی می‌شود. متريک نوسان $\Omega_e(t)$ ، مطرح شده توسط تیرو مالای و مانتين براساس رابطه ذيل می‌باشد(تیرو مالای و مانتين، ۱۹۹۳) و (هولمز و همکاران، ۱۹۹۶).

رابطه (۱)

$$\Omega_e(t) = \frac{1}{N} \sum_{i=1}^N [\varepsilon_i(t) - \bar{\varepsilon}(t)]^2,$$

به طور يكه

رابطه (۲)

$$\varepsilon_i(t) = \frac{1}{t} \int_0^t E_i(t') dt'$$

متوسط زمانی، در خصوص اندازه متغير

می باشد

رابطه ۳

$$\bar{\varepsilon}(t) = \frac{1}{N} \sum_{i=1}^N \varepsilon_i(t)$$

رابطه (۳) متوسط متشابه مربوط به ميانگين متوسط زمانی در كل سистем می‌باشد که در رابطه (۱) قرارداده مقدار متريک (TM) محاسبه شده در زمان t (ت) قرارداده می‌شود. شروع کاتالوگ مطابق با زمان اولیه $t = 0$ که مقدار انرژی ذره در زمان t و N تعداد رویدادها در طول دوره زمانی با بزرگی خاص یا بزرگتر می‌باشد. اگر سیستم در زمان‌های طولانی به طور موثر ارگودیک باشد $\Omega_e(t) = \frac{D_e}{c}$ ، است. به طوریکه D_e پارامتر انتشار ارگودیسیتی مرتبط به مکانی است که مورد تحقیق قرار داده می‌شود و $\frac{1}{\Omega_e(t)} = \frac{t}{D_e}$ با معکوس مقیاس زمان لازم برای

تحلیل گسل‌های استان یزد به روش ارگودیستی: در این پژوهش به منظور رفتارشناسی گسل‌های استان یزد (گسل دهشیر، گسل انار، گسل پشت بادام، شهربابک و....) و بررسی توان لرزه زایی بر اساس شواهد یا توزیع آماری رویدادها در طول دوره زمانی مشخص از اطلاعات (سازمان ژئوفیزیک و پژوهشگاه بین‌المللی زلزله شناسی و مهندسی زلزله (IIEES) و سازمان زلزله شناسی مرکز روسیه (ISC) استفاده شد. و به همین جهت کاتالوگ‌هایی از محدوده و مشخصات گسل‌ها تهیه گردید، که هر کدام برای بررسی و احتمال ارگودیک در منطقه بر اساس تعداد رویدادهایی که در یک دوره زمانی با بزرگی خاص یا بزرگتر، $m \geq 3, ..., m \geq 2$ بوقوع پیوسته است، استفاده شد. و با کمیت گذاری گسل‌ها (زمانی - فضایی) و بررسی توسط متدهای نوسان (TM) تیرو مالای - مانتنین منطقه مورد تحلیل قرار گرفت. ابتدا به وسیله کاتالوگ و قانون گوتنبرگ - ریشر مقدار پارامتر لرزه‌ای (a, b) منطقه محاسبه و مقدار $N(t)$ در هر سال محاسبه شد. سپس با استفاده از کاتالوگ‌های تهیه شده، نمودارهایی از تعداد رویداد در هر سال بر اساس بزرگی‌های متفاوت تهیه و مقدار (TM) معکوس محاسبه گردید. برای محاسبه متوسط زمانی گسل‌ها از فرمول (۲) استفاده شد، که با انتخاب بازه‌های یک ساله افزایشی برای انتگرال گیری با جاگذاری اندازه رویدادها $N(t)$ در هر سال، متوسط زمانی در طول دوره برای بزرگی‌های خاص $M \geq m$ بدست آمد. و متوسط مشابه در کل سیستم نیز از فرمول (۳) که مربوط به میانگین متوسط زمانی برای

$$\log N(t) = a - \frac{b(\log E(t) - d)}{c} = a' - b' \log E(t),$$

و

رابطه ۱۰

$$N(t) = 10^{a'} E(t)^{-b'},$$

در رابطه (۱۰) a' و b' نیز ثابت‌هایی می‌باشند که به منطقه و دوره زمانی مورد توجه بستگی دارند. به طور خاص b تقریباً نزدیک به عدد ۱ می‌باشد. و نیز پارامتر a میزان لرزه نگاری با بزرگی مشخص را برای منطقه خاص نشان می‌دهد. در متريک (TM)، $E_i(t) \equiv N_i(t)$ است که $E_i(t)$ تعداد رویدادهای بزرگتر از بزرگی m محاسبه شده برای هر سال در مکان i می‌باشد که بجای $E_i(t)$ در معادله (۲) فوق جایگزین می‌شود. اندازه جعبه‌ها (محدوده انتخابی در گسل‌ها با طول و عرض جغرافیایی مشخص) متفاوت است که برای هر جعبه تائیرات تعداد رویدادهای زمین لرزه‌ای که در طول دوره زمانی برای هر سال رخداده، روی ویژگی‌های ارگودیک حادث شده منطقه‌ی مورد تحقیق، بررسی می‌گردد. (کاناموری و همکاران، ۱۹۷۷) و (کاناموری و همکاران، ۱۹۸۱) و (تورکوت، ۱۹۹۷) و (آدامز و باشام، ۱۹۸۹). ضمناً کلیه محاسبات مربوطه برای گسل‌های استان یزد انجام گرفت که بدليل طولانی بودن موارد امکان ذکر انها نیست لاتن علاقه مندان می‌توانند با مراجعه به مرجع استفاده نمایند. امام جمعه، (۱۳۸۹).

جدول ۱: نتایج داده‌های کاتالوگ یزد برای برآورد خطی

(b-line)

m	N(m)	Log n(m)
2.5	237	2.374748346
2.6	227	2.356025857
2.7	220	2.342422681
2.8	210	2.322219295
2.9	194	2.28780173
3	188	2.274157849
3.1	179	2.252853031
3.2	163	2.212187604
3.3	151	2.178976947
3.4	143	2.155336037
3.5	125	2.096910013
3.6	115	2.06069784
3.7	109	2.037426498
3.8	99	1.995635195
3.9	92	1.963787827
4	84	1.924279286
4.1	73	1.86332286
4.2	67	1.826074803
4.3	59	1.770852012
4.4	57	1.755874856
4.5	47	1.672097858
4.6	36	1.5563025
4.7	31	1.491361694
4.8	22	1.342422681
4.9	16	1.204119983
5	15	1.176091259
5.1	7	0.84509804
5.2	6	0.77815125
5.5	2	0.301029995
6.4	1	0

شکل ۳: با استفاده از مقادیر بدست آمده در جدول (۱)، نمودار (b-line) گوتنبرگ - ریشر با توجه به بزرگی‌های $A: m \geq 2$ و $B: m \geq 3$ بصورت زیر ترسیم گردید.

طول دوره می‌باشد محاسبه گردید. بر همین اساس مقادیر محاسبه شده توسط فرمولهای مذکور در فرمول (۱) جاگذاری و مقدار متريک (TM) و معکوس آن برای هر سال محاسبه و نمودار آن بر اساس طول دوره زمانی برای بزرگی‌های $m \geq 3, m \geq 2, \dots, m \geq 1$ رسم شد. در نتیجه بر اساس نمودارهای مذکور احتمال ارگودیک و پیش‌بینی بزرگ‌آئی زلزله احتمالی منطقه قابل بررسی گردید.

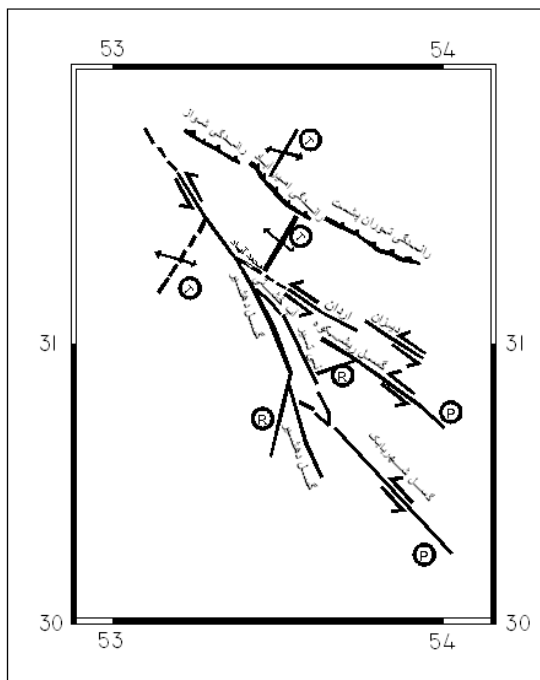
برای بررسی منطقه از کاتالوگ یکی از این گسلها (دهشیر - بافت، پشت بادام و شهربابک) استفاده شد که در ادامه ذکر می‌شود.

داده‌های لرزه نگاری:

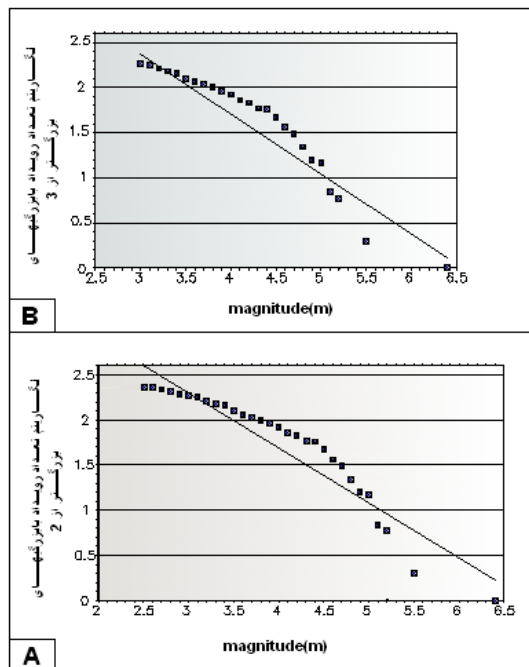
محاسبه پارامترهای منطقه‌ای با استفاده از قانون گوتنبرگ - ریشر:

به منظور محاسبه پارامترهای لرزه‌ای (a, b) در استان یزد از قانون گوتنبرگ - ریشر استفاده شد. بدین منظور از اطلاعات و مشخصات کاتالوگ‌های زمین لرزه‌ای با بزرگی خاص ($m \geq 3, m \geq 2$) برای محدوده شعاعی ۲۰۰ کیلومتری از موقعیت جغرافیایی مرکزی استان (۵۴.۳۶۸, ۳۱.۸۹۶) استفاده شد. بدین ترتیب رویدادها براساس بزرگ‌آئی دسته بندی شدند و سپس فراوانی و فراوانی تجمعی هر دسته محاسبه گردید. (جدول ۱)

روند گسل زاگرس است. این گسل در غرب استان یزد قرار دارد و گسلی است با راستای شمال غرب - جنوب شرق، شیب نزدیک به قائم و از نوع امتداد لغز راستگرد^۲ است، طول گسل حدود ۳۵۰ کیلومتر است که از جنوب غربی نائین شروع شده، از دهشیر می‌گذرد و تا شهر بافت ادامه و در محدوده عرض جغرافیایی ۵۳.۶۷ تا ۵۴.۳ درجه و طول جغرافیایی ۳۱.۹ تا ۳۰.۱۷ درجه قرار دارد. فعالیت هیدرولترمال در اوایل کواترنر احتمالاً به خاطر دوباره فعال شدن گسل تحت حرکات کوه زایی بعد از پاسادین را بیان می‌کند (مهرنهاد و همکاران، ۱۳۷۸).



شکل ۴: امتداد و نحوه حرکت گسلهای منطقه دهشیر
داده‌های لرزه شناسی مورد استفاده در آنالیز از مشاهدات موجود در منطقه یزد. بر اساس اطلاعات لرزه‌ای سازمان ژئوفیزیک و پژوهشگاه بین‌المللی



شکل ۳: نمودار (b-line) گوتبرگ ریشر (B: $m \geq 3$ و A: $m \geq 2$)

سپس از رابطه (۵) برای بدست آوردن میزان پارامتر زمین لرزه‌ای (a,b) (a,b) منطقه یزد با بزرگی خاص $m \geq 2$ و دوره زمانی ۱۹۲۷ تا ۲۰۱۰ استفاده شد.

Gutenberg-Richter relationship: $\log(N(m)) = a - b\log(m)$

$$3/8970.22926a =$$

$$0/60890.9832b =$$

با داشتن پارامترهای لرزه‌ای منطقه مورد نظر، میتوان مقدار $N(t)$ برای رویدادها در هر سال را بدست آورده و مقدار آن را به جای $E(t)$ در فرمول (۲) جایگزین نمود.

گسل دهشیر:

گسل دهشیر - بافت از نظر گسترش آمیزه رنگی^۱ اهمیت زیادی داشته و روند آن همان

² Right slip fault

¹ afiolitmelange

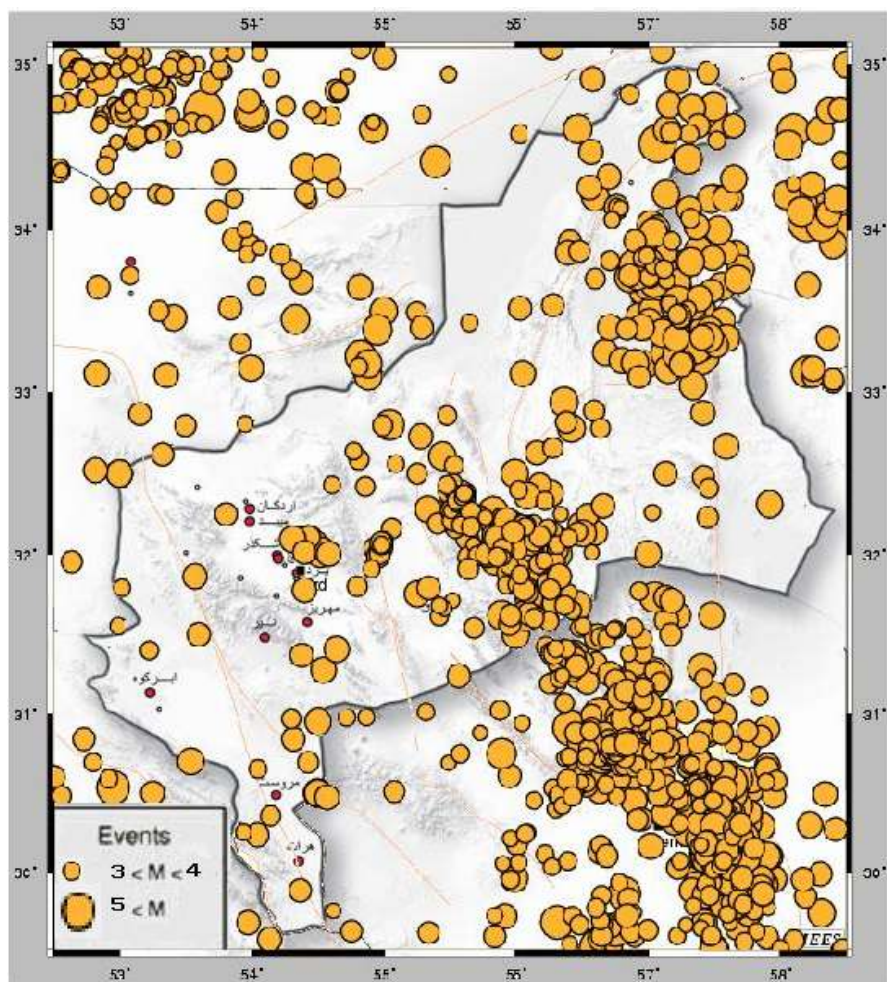
شكل ۵ جزئیات توزیع فضایی زمین لرزه‌ها در منطقه بزد برای دوره زمانی ۱۹۹۶ تا ۲۰۱۰ (بطوریکه افزایش اندازه دایره نیز افزایش بزرگی را نشان می‌دهد.)
[\(www.geophysics.ut.ac.ir\),](http://www.geophysics.ut.ac.ir)
[\(www.iiees.ac.ir\)](http://www.iiees.ac.ir)

زلزله شناسی و مهندسی زلزله International Institute of Earthquake IIEES) و مرکز بین المللی زلزله شناسی، انگلستان International Seismological Centre,UK برای دوره زمانی ۱۹۹۶ تا ۲۰۱۰ تعیین گردید.

جدول ۲ مشخصات گسلهای فرعی مرتبط با گسل دهشیر (مهر نهاد و همکاران، ۱۳۷۸)

نام گسل	طول (KM)	شب	روند	سازوکار	لرزه خیز بودن	فعالیت در کواترنر	زمان آخرین فعالیت
دهشیر	۲۸۰	قائم	N160	فشارشی و امتداد لغز راستگرد	+	+	کواترنر
شهربایک	۶۵	قائم	N135	امتداد لغز راستگرد	-	+	کواترنر
شواز	۴۰	NE	N130	فشارشی	-	+	کواترنر
امیرآباد	۱۵	NE	N135	فشارشی	-	+	کواترنر
محمد آباد	۵	45NE	N135	فشارشی	-	+	کواترنر
دره زرشک	۱۰	NE	125NS,N	فشارشی	-	+	کواترنر
توران پشت	۱۷	NE	N120	فشارشی	-	+	کواترنر
دیزان	۶	قائم	N115	امتداد لغز راستگرد	-	+	کواترنر
اردان	۱۰	قائم	N120	امتداد لغز راستگرد	-	+	کواترنر
نی تیر	۵	قائم	N160	امتداد لغز راستگرد	-	+	کواترنر
ریشکوه	۳۰	قائم	N135	امتداد لغز راستگرد	-	+	کواترنر
آب خشته	۴	قائم	N130	امتداد لغز راستگرد	-	+	کواترنر





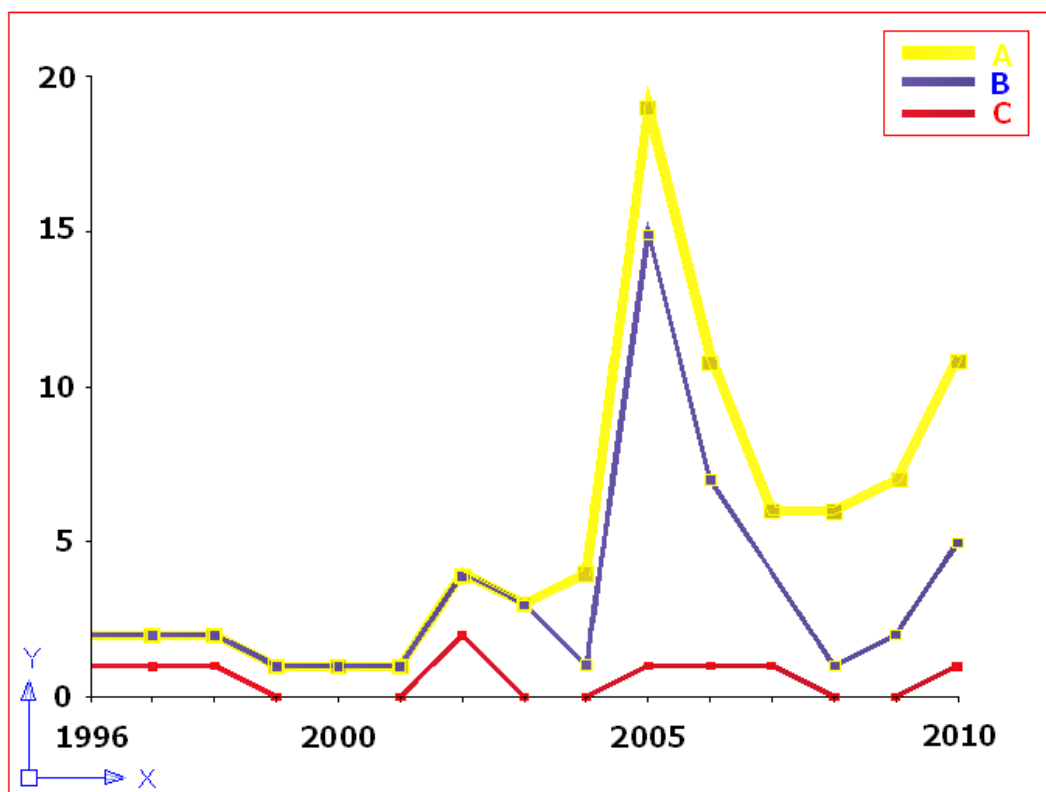
شکل ۵: جزئیات توزیع فضایی رویدادها

$m \geq 4$) , (B: $m \geq 3$) , (A: $m \geq 2$

C: نشان داده شده است.

در شکل ۶ تعداد کلی رویدادهای زمین لرزه ای

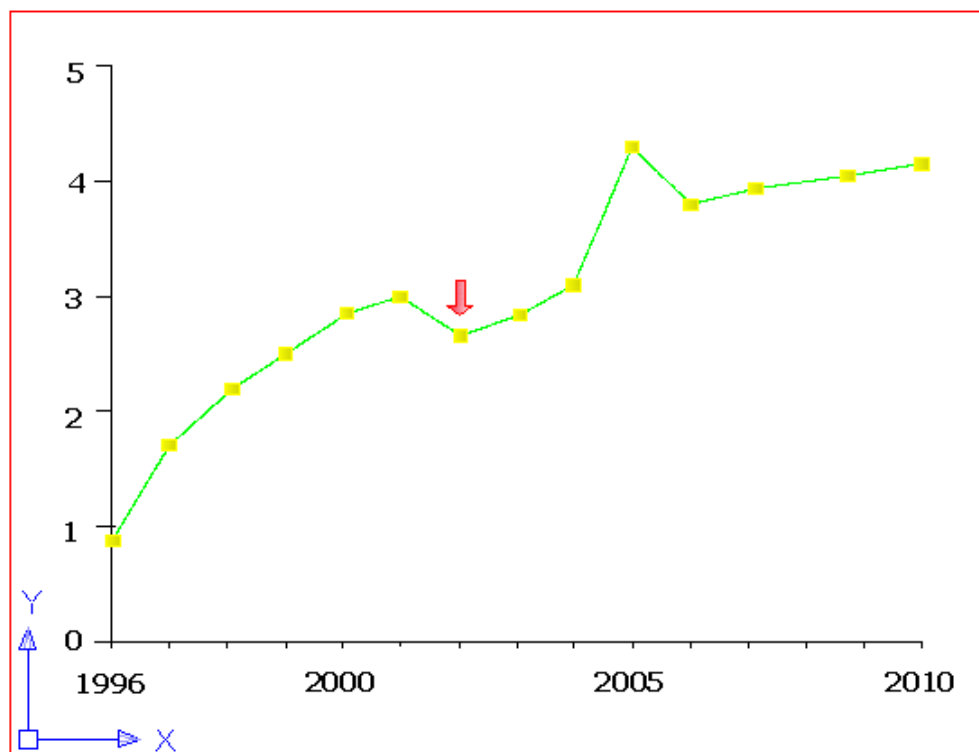
در بازه زمانی ۱۹۹۶ تا ۲۰۱۰ برای کاتالوگ



شکل ۶: تعداد کلی رویدادهای زمین لرزه ای گسل دهشیر با بزرگی (C: $m \geq 4$), (B: $m \geq 3$), (A: $m \geq 2$)

متريک (TM) معکوس را برای تعدادي از رویدادهای زمین لرزه ای با بزرگی $m \geq 2$ از سال ۱۹۹۶ تا ۲۰۱۰ در شکل ۷ نشان داده شده است، همانطورکه مشاهده می شود. سيسitem برای قبل از سال ۲۰۰۱ ارگوديك می باشد و سپس برای دوره های کوتاه از سال ۲۰۰۲ تا ۲۰۰۵ ارگوديك و سپس برای سالهای ۲۰۰۶ تا ۲۰۱۰ ارگوديك می باشد اما برای سالهای ۲۰۰۱ تا ۲۰۰۲ و ۲۰۰۵ تا ۲۰۰۶ ارگوديك نمی باشد.

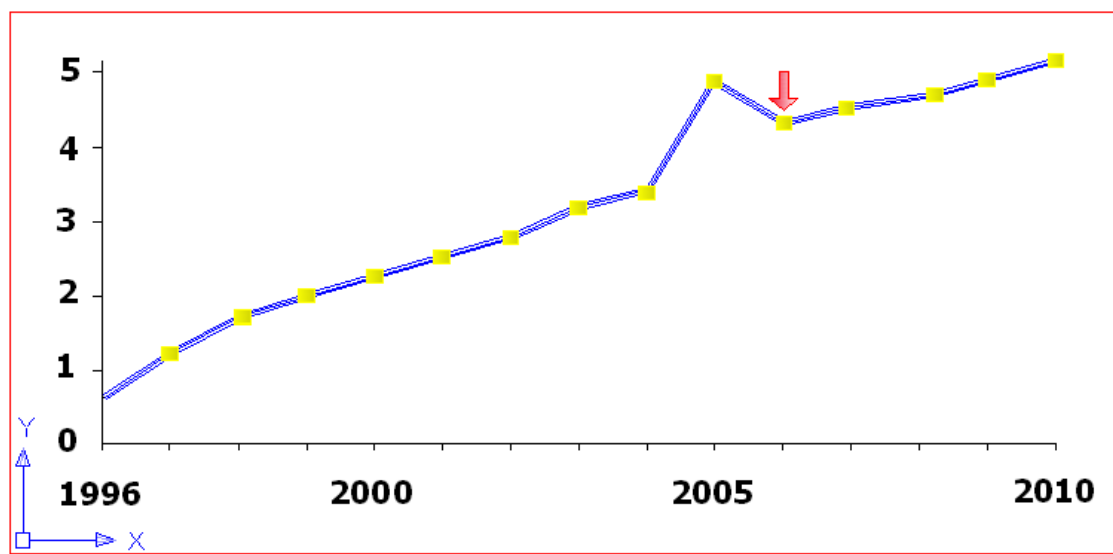
با عنایت در شکل مذکور معلوم می شود، با ايجاد ايستگاه و دستگاههای جدید ثبت رویدادها بادقت زيادتر برای کاتالوگ مشخصات رویدادها در سال ۲۰۰۴ به بعد در نمودار (A: $m \geq 2$) و (B: $m \geq 3$) تغيير قابل توجهی ايجاد شده. لذا با ايجاد شبکه های پيوسته و دقیق برای تمام مناطق لرزه زای ايران می توان در بررسی سيسitem های تعادلی به نتيجه های دقیقتری دست يافت.



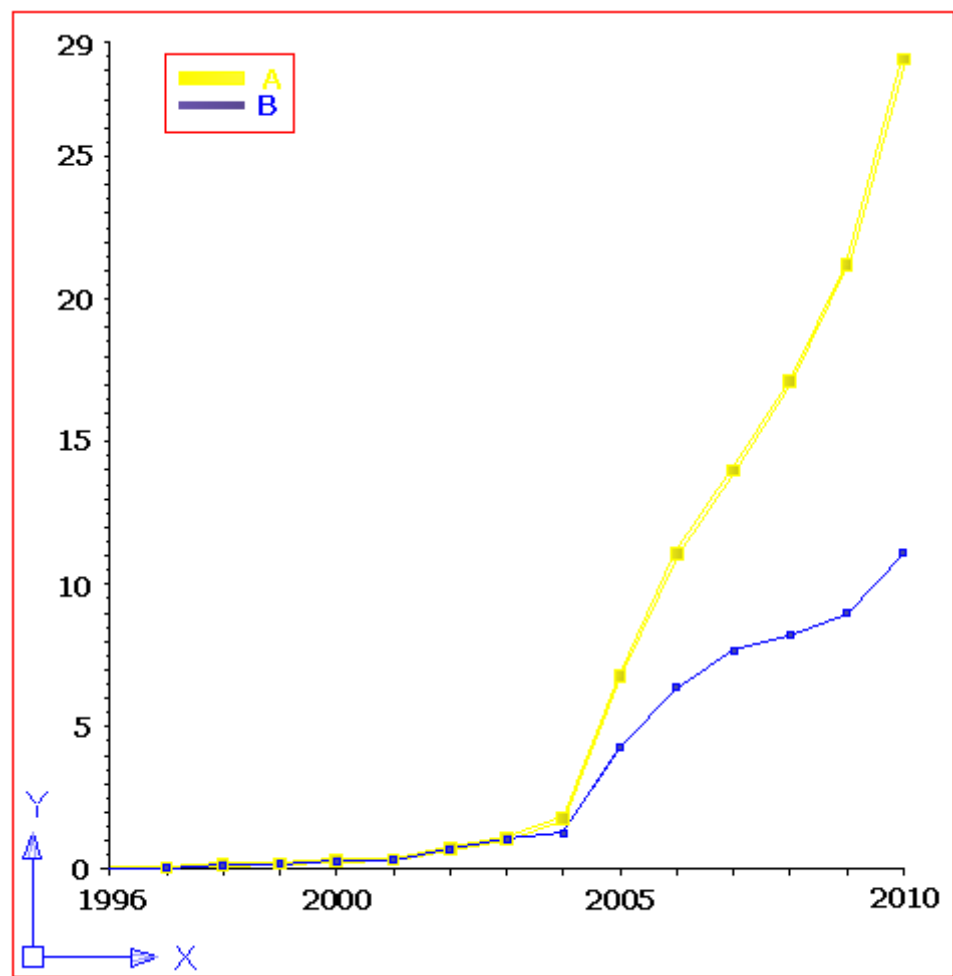
شکل ۷: (TM) متریک معکوس برای رویدادهای زمین لرزه با بزرگی $m \geq 3$ از سال ۱۹۹۶ تا ۲۰۱۰

می‌سازند که بعد از آن، حالت شبیه تعادلی ایجاد شود. این حالت را به عنوان تعادل برجسته شده یا نوسانی نامیده می‌شود. در این بررسی بر اساس شکل‌های (۷) و (۸) و با توجه به اینکه تمام مناطق فضایی با احتمال یکسان نمونه گذاری شده است میتوان چنین نتیجه گرفت که با اضافه کردن رویدادهای کوچک، سیستم ممکن است ارگودیک تر شود، به عبارت دیگر ارگودیسیتی به طور مستقیم به تعداد رویدادها مربوط نمی‌شود.

با دقت در شکل ۸ مشخص است که سیستم گسل دهشیر برای دوره زمان نسبتاً طولانی از سال ۱۹۹۶ تا ۲۰۱۰ و رویدادهایی به بزرگی $m \geq 3$ به طور موثر ارگودیک بوده. این دوره‌های تعادلی با رخداد زمین لرزه‌های بزرگ همراه می‌باشد، که با فلش در شکل ۸ نشان داده شده است. و شامل یک رویداد با بزرگی ۴/۹ در سال ۲۰۰۶ می‌باشد. این رویدادهای خیلی بزرگ سیستم را برای یک دوره زمانی از تعادل خارج



شکل ۸: TM متریک معکوس برای رویدادهای زمین لرزه با بزرگی $m \geq 3$ از سال ۱۹۹۶ تا ۲۰۱۰

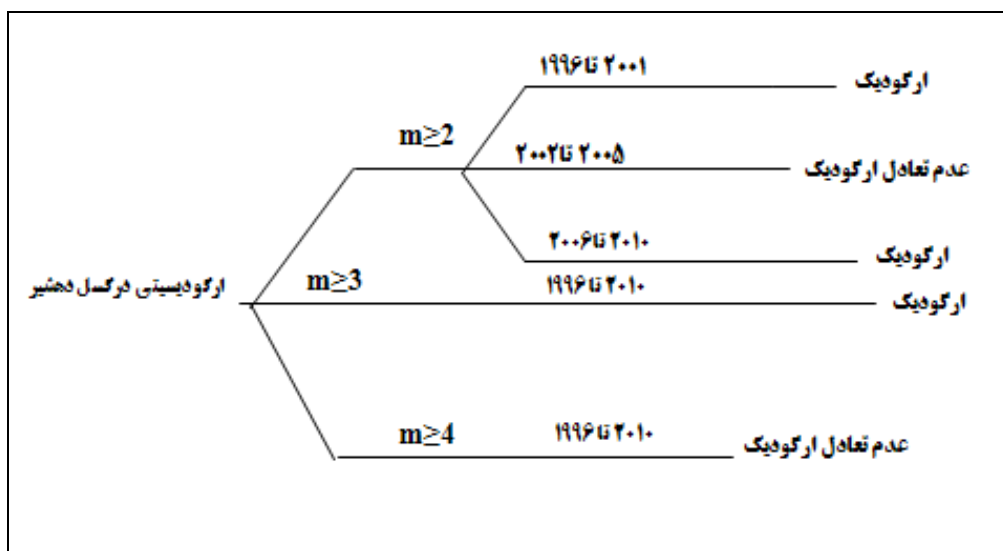


شکل ۹: واریانس فضایی گسل دهشیر برای رویدادهای زمین لرزه با بزرگی (A: $m \geq 2$)، (B: $m \geq 3$) از سال ۱۹۹۶ تا ۲۰۱۰

با توجه به مطالعات انجام گرفته به وسیله روش متريک تيرو مالاي- ماندين برای نشانه گذاري و مشخص سازی وجود احتمال ارگوديک در سистем گسل های منطقه(دهشیر، انار، پشت بادام، شهر بايک و شيرکوه)، با بهره گيري از مشخصات و داده های لرزه اي گسل دهشیر با استفاده از محدوده فضائي كامل از محدوده مختصاتي گسل دهشير معلوم شد که رفتار ساختاري اين گسل برای بزرگاي $m \geq 2$ در سالهاي ۱۹۹۶ تا ۲۰۰۱ و ۲۰۰۲ تا ۲۰۰۵ و ۲۰۰۶ تا ۲۰۱۰ برای بزرگاي $m \geq 3$ در کل دوره ۱۹۹۶ تا ۲۰۱۰ ارگوديک می باشد و به علت عدم پيوستگي زمانی برای بزرگاي بزرگتر از ۴ ارگوديک نمي باشد.(شكل ۱۰)

در شكل ۹، واريانس فضائي لرزه نگاري گسل دهشير در بازه زمانی، از سال ۱۹۹۶ تا ۲۰۱۰ برای رويدادهای به بزرگي خاص ($A:m \geq 2$)، ($B:m \geq 3$) و جعبه اي به اندازه محدوده گسل نشان داده شده است. همانطور که مشخص است روند شب نمودار واريانس فضائي از سال ۱۹۹۶ تا ۲۰۰۴ تقريريا ثابت بوده و از سال ۲۰۰۴ به بعد اين روند با توجه به ديجيتال سازی وکيفيت ثبت لرزه نگاري (شكل ۶) ($A:m \geq 2$), ($B:m \geq 3$))، تغيير کرده، ولی برای فاصله زمانی ۲۰۰۴ تا ۲۰۱۰ مجددا روند نمودار ثابت بوده که ميزان تغيير در روند واريانس در اين ۶ سال تقريريا ده برابر بالاتر نسبت به ۹ سال اول می باشد، لذا چنین مি�توان نتيجه گرفت که سистем در ابعاد فضائي با اندازه بزرگ با دوره های زمانی متفاوت ايشتايی دارد.

نتيجه گيري



شكل (۱۰) وضعیت تعادل ارگودیک در بزرگای مختلف زلزله

قرار گيرد. در اين بررسى با توجه به آناليز و بررسى های رفتاري و تعادلي در منطقه بر اساس بزرگيهای مختلف می توان به اين نتيجه دست یافت که احتمال و توان لرزه خيزی با بزرگی $m=3$ در منطقه

در حقیقت دینامیک های غیر خطی باعث ایجاد زمین لرزه های بزرگ می شود و سیستم از دینامیک مکانی خود خارج می شود تا به دینامیک مکانی جدیدی وارد شود که در این مقطع مجددا در حالت ارگودیک موثر

- D.W, II, and Richards. P.G (AGU, Washington, D.C., 1981), p. 1.
- Klein. W, Ferguson. C, and Rundle. J.B, in Reduction and Predictability of Natural Disasters, ed. by Rundle. J.B, Turcotte. D.L, and Klein. W, SFI series in the science of complexity, XXV (Addison-Wesley, Reading, MA, 1996) p. 223.
- Pain, A. D. M. 1985: "Ergodic" Reasoning In Geomorphology: Time for a Review of Term Prog. Phys. Geog.9.
- Savigear, R.A.G. 1952: Some observations on slope development in South Wales. Transactions, Institute of British Geographers 18, 31-51.
- Thirumalai. D, and Mountain. R.D, Phys. Rev. E 47, 479 (1993)
- Tiamo. K. F ,Rundle. J. B ,Klein. W , Holliday. J ,Sá Martins. J.S & ,Ferguson. C. D Ergodicity In Natural Earthquake Fault Networks
- Turcotte. D.L, Fractals and Chaos in Geology and Geophysics, 2nd ed .(Cambridge University Press, Cambridge, U.K., 1997.)
- Tiamo, K. F., Rundle J. B., Klein W., Martins J.S., Ferguson C.D. 2003: Ergodic Dynamics in a Natural Threshold System. Physical Review Letters, Vol.91, N.23.
- Vernat.P et al 2006, Mechanical modeling of oblique convergence in the zagros Iran. Geophys. J. (2006) p. 165.
- White, J. F., and S. J. Gould. 1965. Interpretation of the coefficient in the allometric equation. Am. Nat. v.99 p. 5-18.
- Woldenberg, 1972: The hydraulic geometry described for the derivation of equation 3 is an example of dynamic al- lometry p. 2-3.
- Woldenberg, M.J. 1966: Horton's laws justified in terms of allometric growth and steady state in open systems. Geological Society of America Bulletin 77,431-34.
- برای گسلهای شیرکوه و پشت بادام نیز وجود دارد. در آنچه در این پژوهش انجام شد شناخت بهتر سیستم‌های غیر خطی رانشی بود، لذا با ایجاد شبکه‌های پیوسته و گسترده و تهیه کاتالوگ‌های دقیق برای تمام شکلهای ایران می‌توان در رابطه با بررسی عملکرد سیستم‌های آستانه‌ای رانشی (گسلها) در تعادل یا عدم تعادل به نتیجه‌های ارزشمندی دست یافت، تا بتوان تمامی رخدادهای غیر قابل پیش‌بینی را بر اساس روش تیرومالای - مانتن در قالب‌های زمانی فضایی شبیه سازی نمود.
- ### منابع
- امام جمعه، احسان، ۱۳۸۹، مدل‌سازی لرزه شناختی استان یزد با استفاده از مدل ارگودیک، پایان نام کارشناسی ارشد، دانشگاه ازاد اسلامی یزد.
- مهرنها. حمید و مهر شاهی. داریوش، ۱۳۷۸، تحلیل ساختاری و سایز موتکنونیکی گسل دهشیر، ۶۵۷.
- Adams. J.E, and Basham. P.W, Geoscience Canada, 16, n. 1, 3 (1989).
- Brown 1976: Ergodic theory and topological Dynamics. New York: Academic Press.
- Ferguson. C.D, Klein. W, and Rundle. J.B, Phys. Rev. E 60, 1359 (1999).
- Holmes. P, Lumley. J.L, Berkooz. G, Turbulence, Coherent Structures, Dynamical Systems and Symmetries, (Cambridge University Press, Cambridge, 1996).
- Kac. M, Uhlenbeck. G.E, and Hemmer. P.C, Math. J. Phys. 4, 216 (1961).
- Kanamori. H, Geophys. J. Res. 82, 2981 (1977).
- Kanamori. H, in Earthquake Prediction: An International Review, ed. by Simpson.

- Wolman, M.G. and Gerson, R. 1978: Relative scales of time and effectiveness of climate in watershed geomorphology. *Earth Surface Processes* 3, 189-208. © 1985.
- Woldenberg, M.J. 1968: Speculations concerning paleohydrologic controls of terrestrial sedimentation. *Geological Society of America Bulletin* 79, 1573-88.